

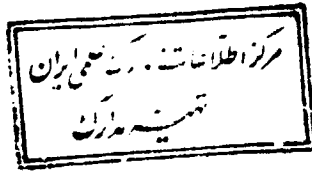


قال رسول الله ص:

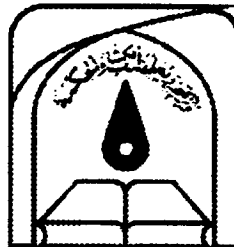
لَمْ يَأْتِكُ بِكُثُرَةٍ لِعَتْلَمْ وَإِنَّمَا يَهُنُورُ يَقِنَّةً فَإِنَّمَا

فِي قَلْبِ مَنْ شَاءَ

٢٠٢٤



۱۳۷۹ / ۶ / ۲۰



دانشگاه تربیت مدرس

دانشکده فنی و مهندسی

پایان نامه دوره کارشناسی ارشد رشته مهندسی مکانیک

گرایش تبدیل انرژی

حل عددی جریان لزج اطراف ایرفویل بهمراه اسپویلر با روش گردابه تصادفی

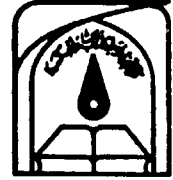
مجید سبزپوشانی

استاد راهنما

دکتر بهزاد قدیری

اردیبهشت ۱۳۷۹

۳۰۳۴۳



دانشگاه تریت مدرس

تاییدیه هیات داوران

آقای مجید سبزپوشانی پایان نامه ۶ واحدی خود را با عنوان حل عددی جریان لوج اطراف ایرفویل به همراه اسپویلر باروش گردابه تصادقی در تاریخ ۷۹/۳/۴ ارائه کردند. اعضای هیات داوران نسخه نهائی این پایان نامه را از نظر فرم و محتوى تایید و پذیرش آنرا برای تکمیل درجه کارشناسی ارشد رشته مهندسی مکانیک با گرایش تبدیل انرژی پیشنهاد می کنند. ۲۶ ب ۲

امضاء

سید محمد حسن زاده

اعضای هیات داوران
۱- استاد راهنمای:
۲- استاد مشاور:
۳- استادان ممتحن:
۴- مدیر گروه:
(با نماینده گروه تخصصی)

نام و نام خانوادگی

آقای دکتر قدیری

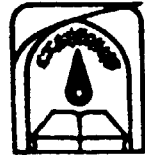
آقای دکتر حیدری نژاد

آقای دکتر نور آذر

آقای دکتر معرفت

این نسخه به عنوان نسخه نهائی پایان نامه / رساله مورد تأیید است.

امضا استاد راهنمای:



آیین نامه چاپ پایان نامه (رساله) های دانشجویان دانشگاه تربیت مدرّس

نظر به اینکه چاپ و انتشار پایان نامه (رساله) های تحصیلی دانشجویان دانشگاه تربیت مدرّس، مبنی بخشی از فعالیتهای علمی - پژوهشی دانشگاه است بنابراین به منظور آگاهی و رعایت حقوق دانشگاه، دانش آموختگان این دانشگاه نسبت به رعایت موارد ذیل متعهد می شوند:

ماده ۱ در صورت اقدام به چاپ پایان نامه (رساله) ای خود، مراتب را قبل از طور کتبی به «دفتر نشر آثار علمی» دانشگاه اطلاع دهد.

ماده ۲ در صفحه سوم کتاب (پس از برگ شناسنامه)، عبارت ذیل را چاپ کند:

«کتاب حاضر، حاصل پایان نامه کارشناسی ارشد / رساله دکتری نگارنده در رشته
دانشگاه تربیت مدرّس به راهنمایی سرکار خانم / جناب
که در سال در دانشکده دانشگاه تربیت مدرّس به راهنمایی سرکار خانم / جناب
آقای دکتر آقای دکتر ، مشاوره سرکار خانم / جناب آقای دکتر
و مشاوره سرکار خانم / جناب آقای دکتر از آن دفاع شده است.»

ماده ۳ به منظور جبران بخشی از هزینه های انتشارات دانشگاه، تعداد یک درصد شمارگان کتاب (در هر نوبت چاپ) را به «دفتر نشر آثار علمی» دانشگاه اهدا کند. دانشگاه می تواند مازاد نیاز خود را به نفع مرکز نشر در معرض فروش قرار دهد.

ماده ۴ در صورت عدم رعایت ماده ۳، ۵۰٪ بهای شمارگان چاپ شده را به عنوان خسارت به دانشگاه تربیت مدرّس، تأديه کند.

ماده ۵ دانشجو تعهد و قبول می کند در صورت خودداری از پرداخت بهای خسارت، دانشگاه می تواند خسارت مذکور را از طریق مراجع قضایی مطالبه و وصول کند؛ به علاوه به دانشگاه حق می دهد به منظور استیفادی حقوق خود، از طریق دادگاه، معادل وجه مذکور در ماده ۴ را از محل توقیف کتابهای عرضه شده نگارنده برای فروش، تأمین نماید.

ماده ۶ اینحاجب محمد سبز پور دانشجوی رشته: مدیر کتابخانه - ستاد اعزامی مقطع کارشناسی ارشد تعهد فرق و ضمانت اجرایی آن را قبول کرده، به آن ملتزم می شوم.

نام و نام خانوادگی: محمد سبز پور

تاریخ و امضا: ۲۵ مرداد ۱۳۹۷

تقدیم به:

پدر پاکدل و مهربانم و مادر دلسوز و صبورم
آناتکه همواره دستها و دلها یشان پشتوانه زندگیم
و دعاها یشان تکیه گاه تلاشهايم بوده است.

با سپاس از:

استاد ارجمند آقای دکتر بهزاد قدیری که
راهنمایی این پایان نامه را به عهده داشته اند و هیئت داوران که
زحمت مطالعه آنرا تقبل فرمودند.

چکیده

جريان لرج، آرام و تراکم‌ناپذير اطراف اجسام Bluff به روش گردابه تصادفي^۱ و با استفاده از طرح هييريد مطالعه گردیده است و اين روش برای شبیه‌سازی جريان اطراف ايرفويل بهمراه اسپویلر توسعه داده شده است. معادله ناوييراستوكس بفرم ورتيسیتی، به روش گام جزء به جزء^۲ به دو معادله خطی پخش و غير خطی جابجائی تفکيك ميگردد. در اين روش معادلات بدن بال هم حل می‌شوند، بدین صورت که در هر فاصله زمانی ابتدا معادله پخش با شرایط اوليه حل ميشود و سپس معادله جابجائی با استفاده از حل معادله پخش بعنوان شرط اوليه حل ميگردد. روش گام تصادفي^۳ برای حل معادله پخش و روش CIC^۴ برای حل معادله جابجائی بکار برده ميشود. ورتيسیتی توسط ورتکس‌های نقطه‌ای مدل شده و ورتکس‌های جدید برای ارضا شرط سرعت مماسی صفر، روی سطح بوجود می‌آيند. ورتکسها با گام تصادفي حرکت می‌کنند تا معادله پخش موجود مقایسه شده است. نتایج از توافق خوبی برخوردارند.

شبیه‌سازی عددی برای جريان اطراف ايرفويل به همراه اسپویلر انجام پذيرفته است. فشار متوسط و ضرائب نيرو برای طول و زوابای مختلف اسپویلر محاسبه و با نتایج تشوری و تجربی موجود مقایسه شده است. نتایج از توافق خوبی برخوردارند.

كلمات کلیدی: حل عددی، ايرفويل، اسپویلر، جريان لرج، گردابه تصادفي، ناوييراستوكس، ورتيسیتی، تبدیلات همدیس

-
- 1- Random Vortex
 - 2- Fractional Step
 - 3- Random Walk
 - 4- Cloud-in-Cell

فهرست مطالب

صفحه	عنوان
پ	فهرست علامت اختصاری
ج	فهرست اشکال
	فصل اول
	مقدمه
۲	۱-۱- روش‌های عددی
۶	۲-۱- مرور مقالات
۶	۲-۲-۱- کاربرد روش ورتكس منفرد
۹	۲-۲-۲- جریان اطراف ایرفویل بهمراه اسپویلر
۱۲	۳-۱- اهداف رساله
	فصل دوم
	روش رتدم ورتكس
۱۴	۱-۲- معادلات اولیه
۱۷	۲-۲- حل معادله جابجائی
۲۰	۳-۲- شرائط مرزی
۲۱	۴-۲- حل معادله دیفیوژن
	فصل سوم
	شبیه‌سازی جریان اطراف ایرفویل بهمراه اسپویلر
۲۴	۱-۳- روش عددی
۲۶	۲-۳- تبدیلات همدیس متواالی
۳۱	۳-۳- حل معادله دیفیوژن
۳۳	۴-۳- حل معادله پواسون
۳۳	۵-۳- حل معادله اویلر
۳۵	۶-۳- شرائط مرزی ورتیسیتی
۳۶	۷-۳- محاسبه ضرائب نیرو

صفحه

عنوان

فصل چهارم

بررسی نتایج و پیشنهادات

۴۰ بررسی جریان در حالت گذرا	۱-۴
۴۲ بررسی جریان در حالت دائم	۲-۴
۴۹ نتیجه گیری	۳-۴
۵۰ بحث خطاهای	۴-۴
۵۱ پیشنهادات	۵-۴
۵۲ اشکال	
۱۱۶ مراجع	
۱۲۰ واژه نامه انگلیسی به فارسی	
۱۲۴ چکیده انگلیسی	

علام اختصاری

a	شعاء است اند
ls/l	نسبت طول اسپویلر به ایرفویل
C_l, Cd	ضرایب براو پسالحظه ای براساس U
Es/LE	فاصله اسپویلر تا نقطه LE ایرفویل
\bar{C}_l, \bar{C}_d	متوسط زمانی ضرایب براو پسا براساس U
C_p	ضریب فشار ($C_p = p/0.5\rho U^2$)
\bar{C}_p	ضریب فشار متوسط
$d\xi/dz$	مشتق نگاشتی
$ d\xi/dz $	قدر مطلق مشتق نگاشتی
$\overline{d\xi/dz}$	مزدوج مشتق نگاشتی
F_L, F_D	نیروهای براو پسا
$F(z)$	پتانسیل مخلوط در صفحه - z
$F(\xi)$	پتانسیل مخلوط در صفحه - ξ
h/t	کمبر (camber) ایرفویل
P	فشار
$P_i(x,t)$	توزیع نرمال (گرسی)
P_s	فشار سکون
r	مختصات قطبی
δ	زاویه ایرفویل با اسپویلر
R_e	عدد رینولدز
t	زمان
t_1	ضخامت ایرفویل
U	سرعت آزاد جریان در صفحه - z
u, v	مولته های منعامد سرعت در مختصات کارتنزین

u_r, u_θ	مخلقه های متعامد سرعت در مختصات قطبی
V	سرعت آزاد جریان در صفحه - ξ
v_b	سرعت جسم
$w(z)$	سرعت مختلط در صفحه - z
$w(\xi)$	سرعت مختلط در صفحه - ξ
$w'(\xi)$	سرعت مختلط مؤثر
x, y	مختصات کارتنزین
α	زاویه حمله جریان
Γ	سیرکولاسیون ورنکس
Γ_0	سیرکولاسیون ورنکس در سطح
Γ_{\max}	ماکزیمم سیرکولاسیون ورنکس
γ	قدرت ورنکس در واحد طول
ΔS	طول پنل
Δt	فاصله زمانی
$\Delta \tau$	فاصله زمانی بی بعد ($\Delta \tau = \frac{\Delta t U}{a}$)
$\Delta \theta$	طول شیت ورنکس در سطح
$\Delta x, \Delta y$	ابعاد شبکه در جهات x, y
$\Delta \xi$	بعد شبکه در جهت ξ
δ	تابع دلتا دیراک
ϵ	Cut-Off پارامتر
θ	مختصات قطبی
$\lambda_1 \lambda_2$	اعداد تصادفی در صفحه - z
$\lambda'_1 \lambda'_2$	اعداد تصادفی در صفحه - ξ
μ	ویسکوزیته
ν	ویسکوزیته سینماتیکی

ρ	دانسیتی
τ	زمان بی بعد ($\tau = tU/a$)
τ_0	تنش برشی در سطح
ψ	تابع جریان
w	ورتیسیتی
w_0	ورتیسیتی در سطح

فهرست اشکال

صفحه	عنوان
۵۲	شكل(۱-۲)- توزیع ورتكس در سلول CIC
۵۳	شكل(۲-۲)- سیستم شبکه قطبی
۵۴	شكل(۱-۳)- صفحه حقیقی z
۵۴	شكل(۲-۳)- صفحه t
۵۵	شكل(۳-۳)- صفحه s
۵۵	شكل(۴-۳)- صفحه θ
۵۶	شكل(۵-۳)- صفحه λ
۵۶	شكل(۶-۳)- صفحه m
۵۷	شكل(۷-۳)- صفحه محاسباتی γ
۵۸	شكل(۸-۳)- محاسبه ضرائب نیرو
(b)	شكل(۱-۴)- محاسبات عددی جریان در زمان $\tau=0.1$ و $Re=1000$ (a) ساختار ورتیسیتی (b) خطوط جریان
۵۹
(b)	شكل(۲-۴)- محاسبات عددی جریان در زمان $\tau=0.3$ و $Re=1000$ (a) ساختار ورتیسیتی (b) خطوط جریان
۶۰
(b)	شكل(۳-۴)- محاسبات عددی جریان در زمان $\tau=0.5$ و $Re=1000$ (a) ساختار ورتیسیتی (b) خطوط جریان
۶۱
[12]	شكل(۴-۴)- محاسبات عددی جریان در زمان $\tau=1.5$ و $Re=1000$ (a) ساختار ورتیسیتی مرجع (b) ساختار ورتیسیتی (c) خطوط جریان
۶۲
[12]	شكل(۵-۴)- محاسبات عددی جریان در زمان $\tau=3.0$ و $Re=1000$ (a) ساختار ورتیسیتی مرجع (b) ساختار ورتیسیتی (c) خطوط جریان
۶۳
[12]	شكل(۶-۴)- محاسبات عددی جریان در زمان $\tau=5.0$ و $Re=1000$ (a) ساختار ورتیسیتی مرجع (b) ساختار ورتیسیتی (c) خطوط جریان
۶۴
[12]	شكل(۷-۴)- محاسبات عددی جریان در زمان $\tau=0.2$ و $Re=1000$ (a) ساختار ورتیسیتی مرجع (b) ساختار ورتیسیتی (c) خطوط جریان
۶۵

شکل (۸-۴)- محاسبات عددی جریان در زمان $\tau=0.5$ و $Re=1000$ (a) ساختار ورتیسیتی مرجع	۶۶
[12] [b) ساختار ورتیسیتی (c) خطوط جریان [12]	
شکل (۹-۴)- محاسبات عددی جریان در زمان $\tau=2.0$ و $Re=1000$ (a) ساختار ورتیسیتی مرجع	۶۷
[12] [b) ساختار ورتیسیتی (c) خطوط جریان [12]	
شکل (۱۰-۴)- محاسبات عددی جریان در زمان $\tau=5.0$ و $Re=1000$ (a) ساختار ورتیسیتی مرجع	۶۸
[12] [b) ساختار ورتیسیتی (c) خطوط جریان [12]	
شکل (۱۱-۴)- توسعه زمانی ضرایب برا در $Re=1000$ و زاویه حمله ۰.۰ درجه مقایسه با نتایج تجربی [31] و تئوری [12]	۶۹
شکل (۱۲-۴)- توزیع فشار روی سطح در $Re=1000$ و $\tau=0.2$ مقایسه با نتایج [12] [12]	۷۰
شکل (۱۳-۴)- ساختار ورتیسیتی جریان در $t/l=0.14$, $h/l=0.0$, $ls/l=0.1$, $Es/LE=0.5$, $\delta=90$ و زمان $\tau=25$ و $Re=1000$	۷۱
شکل (۱۴-۴)- خطوط جریان در $t/l=0.14$, $h/l=0.0$, $ls/l=0.1$, $Es/LE=0.5$, $\delta=90$ و زمان $\tau=25$ و $Re=1000$	۷۲
شکل (۱۵-۴)- توسعه زمانی ضرایب برا و پسا در $Re=1000$ و زاویه حمله ۲- درجه ..	۷۳
شکل (۱۶-۴)- توسعه زمانی ضرایب برا و پسا در $Re=1000$ و زاویه حمله ۴ درجه ..	۷۳
شکل (۱۷-۴)- توسعه زمانی ضرایب برا و پسا در $Re=1000$ و زاویه حمله ۱۰ درجه ..	۷۴
شکل (۱۸-۴)- توسعه زمانی ضرایب برا و پسا در $Re=1000$ و زاویه حمله ۱۸ درجه ..	۷۴
شکل (۱۹-۴)- تغییرات ضرایب برا و پسا بر حسب زاویه حمله در $Re=1000$ و مقایسه با نتایج تجربی و تحلیلی [11]	۷۵
شکل (۲۰-۴)- توزیع فشار روی سطح در زاویه حمله ۶ درجه ..	۷۶
شکل (۲۱-۴)- توزیع فشار روی سطح در زاویه حمله ۱۸ درجه ..	۷۶
شکل (۲۲-۴)- ساختار ورتیسیتی جریان در $t/l=0.14$, $h/l=0.0$, $ls/l=0.1$, $Es/LE=0.7$, $\delta=90$ و زمان $\tau=25$ و $Re=1000$	۷۷
شکل (۲۳-۴)- خطوط جریان در $t/l=0.14$, $h/l=0.0$, $ls/l=0.1$, $Es/LE=0.7$, $\delta=90$ و زمان $\tau=25$ و $Re=1000$	۷۸
شکل (۲۴-۴)- توسعه زمانی ضرایب برا و پسا در $Re=1000$ و زاویه حمله ۴- درجه ..	۷۹
شکل (۲۵-۴)- توسعه زمانی ضرایب برا و پسا در $Re=1000$ و زاویه حمله ۰/۰ درجه ..	۷۹

شکل (۲۶-۴)- توسعه زمانی ضرایب برا و پسا در $Re=1000$ و زاویه حمله ۸ درجه ...	۸۰
شکل (۲۷-۴)- توسعه زمانی ضرایب برا و پسا در $Re=1000$ و زاویه حمله ۱۸ درجه ...	۸۰
شکل (۲۸-۴)- تغییرات ضرایب برا و پسا بر حسب زاویه حمله در $Re=1000$ و مقایسه با نتایج تجربی و تحلیلی [11]	۸۱
شکل (۲۹-۴)- توزیع فشار روی سطح در زاویه حمله ۴ درجه	۸۲
شکل (۳۰-۴)- توزیع فشار روی سطح در زاویه حمله ۱۴ درجه	۸۲
شکل (۳۱-۴)- ساختار ورتیسیتی جریان در $t/l=0.14, h/l=0.0, ls/l=0.1, Es/LE=0.7, \alpha=6$ و زمان $\tau=25$ و $Re=1000$	
شکل (۳۲-۴)- خطوط جریان در $t/l=0.14, h/l=0.0, ls/l=0.1, Es/LE=0.7, \alpha=6$ و زمان $\tau=25$ و $Re=1000$	۸۴
شکل (۳۳-۴)- توسعه زمانی ضرایب براوپسا در زاویه حمله ۶ درجه و زاویه اسپویلر ۱۵ درجه.	۸۵
شکل (۳۴-۴)- توسعه زمانی ضرایب براوپسا در زاویه حمله ۶ درجه و زاویه اسپویلر ۴۵ درجه.	۸۵
شکل (۳۵-۴)- توسعه زمانی ضرایب براوپسا در زاویه حمله ۶ درجه و زاویه اسپویلر ۶۰ درجه.	۸۶
شکل (۳۶-۴)- توسعه زمانی ضرایب براوپسا در زاویه حمله ۶ درجه و زاویه اسپویلر ۷۵ درجه.	۸۶
شکل (۳۷-۴)- تغییرات ضرایب براوپسا بر حسب زاویه اسپویلر و مقایسه با نتایج تجربی [11]	۸۷
شکل (۳۸-۴)- ساختار ورتیسیتی جریان در $t/l=0.14, h/l=0.0, ls/l=0.05, Es/LE=0.7$ و زمان $\tau=25$ و $Re=1000$	
شکل (۳۹-۴)- خطوط جریان در $t/l=0.14, h/l=0.0, ls/l=0.05, Es/LE=0.7, \delta=90$ و زمان $\tau=25$ و $Re=1000$	۸۸
شکل (۴۰-۴)- توسعه زمانی ضرایب برا و پسا در $Re=1000$ و زاویه حمله ۰/۰ درجه ..	۹۰
شکل (۴۱-۴)- توسعه زمانی ضرایب برا و پسا در $Re=1000$ و زاویه حمله ۱۶ درجه ..	۹۰
شکل (۴۲-۴)- تغییرات ضرایب برا و پسا بر حسب زاویه حمله در $Re=1000$ و مقایسه با نتایج تجربی و تحلیلی [11]	۹۱
شکل (۴۳-۴)- ساختار ورتیسیتی جریان در $t/l=0.14, h/l=0.0, ls/l=0.1, Es/LE=0.7, \delta=60$ و زمان $\tau=22$ و $Re=1000$	
شکل (۴۴-۴)- خطوط جریان در $t/l=0.14, h/l=0.0, ls/l=0.1, Es/LE=0.7, \delta=60$ و زمان $\tau=22$ و $Re=1000$	۹۲
شکل (۴۵-۴)- توسعه زمانی ضرایب برا و پسا در $Re=1000$ و زاویه حمله -۲ درجه ..	۹۴